

Pendolo doppio

Sara De Benedetti

Marzo 2024

1 Introduzione

Nelle pagine seguenti ci si propone lo studio del doppio pendolo, che è interessante in quanto è un sistema semplice con il quale si può studiare il caos; per alcuni range di condizioni iniziali, infatti, ha un comportamento caotico, ovvero scelte due condizioni iniziali vicine queste si allontanano esponenzialmente l'una dall'altra al passare del tempo. Per piccoli angoli e basse velocità iniziali il sistema ha un comportamento quasi-periodico. Questo sistema fisico è composto da due pendoli il secondo dei quali è attaccato all'estremità libera del primo, come si può vedere in figura 1. Per semplificare il problema è stato considerato un pendolo planare che consiste di due masse puntiformi m_1 e m_2 attaccate a due fili inestensibili e privi di massa lunghi l_1 e l_2 , immerse in un campo gravitazionale e non soggette a forze d'attrito.

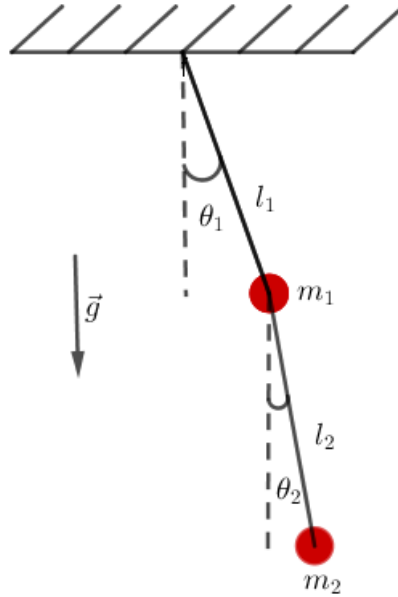


Figure 1: Doppio pendolo

Al fine di ricavare le equazioni del moto si scrivono le coordinate cartesiane della posizione delle due masse in funzione degli angoli, θ_1 e θ_2 compresi tra i bracci dei pendoli e la verticale (equazione 1).

$$\begin{cases} x_1 = l_1 \sin \theta_1 \\ y_1 = -l_1 \cos \theta_1 \end{cases} \quad \begin{cases} x_2 = x_1 + l_2 \sin \theta_2 \\ y_2 = y_1 - l_2 \cos \theta_2 \end{cases} \quad (1)$$

Le velocità delle masse m_1 e m_2 si possono vedere in equazione 2.

$$\begin{cases} \dot{x}_1 = l_1 \dot{\theta}_1 \cos \theta_1 \\ \dot{y}_1 = l_1 \dot{\theta}_1 \sin \theta_1 \end{cases} \quad \begin{cases} \dot{x}_2 = \dot{x}_1 + l_2 \dot{\theta}_2 \cos \theta_2 \\ \dot{y}_2 = \dot{y}_1 + l_2 \dot{\theta}_2 \sin \theta_2 \end{cases} \quad (2)$$

L'energia cinetica T del sistema è la somma delle energie cinetiche dei due pendoli (equazione 3).

$$T = \frac{m_1}{2}(\dot{x}_1^2 + \dot{y}_1^2) + \frac{m_2}{2}(\dot{x}_2^2 + \dot{y}_2^2) \quad (3)$$

L'energia potenziale si ottiene allo stesso modo:

$$U = m_1 g y_1 + m_2 g y_2 \quad (4)$$

Si può così ricavare la lagrangiana ($L = T - U$) che con le opportune sostituzioni è:

$$L = \frac{(m_1 + m_2)}{2} l_1^2 \dot{\theta}_1^2 + \frac{m_2}{2} l_2^2 \dot{\theta}_2^2 + m_2 l_1 l_2 \dot{\theta}_1 \dot{\theta}_2 \cos(\theta_1 - \theta_2) + g(m_1 + m_2) l_1 \cos(\theta_1) + g m_2 l_2 \cos \theta_2 - 2 \quad (5)$$

A questo punto si possono applicare le equazioni di Eulero-Lagrange (6) al fine di ottenere le equazioni del moto (7).

$$\frac{d}{dt} \left(\frac{\partial L}{\partial \dot{\theta}_i} \right) - \frac{\partial L}{\partial \theta_i} = 0 \quad i = 1, 2 \quad (6)$$

$$\begin{cases} \dot{\theta}_1 = \omega_1 \\ \dot{\theta}_2 = \omega_2 \\ \dot{\omega}_1 = \frac{-g(2m_1 + m_2) \sin \theta_1 - g m_2 \sin(\theta_1 - 2\theta_2) - 2m_2 \sin(\theta_1 - \theta_2)(\dot{\theta}_2^2 l_2 + \dot{\theta}_1^2 l_1 \cos(\theta_1 - \theta_2))}{l_1(2m_1 + m_2 - m_2 \cos(2\theta_1 - 2\theta_2))} \\ \dot{\omega}_2 = \frac{2 \sin(\theta_1 - \theta_2)(\dot{\theta}_1^2 l_1(m_1 + m_2) + g(m_1 + m_2) \cos \theta_1 + \dot{\theta}_2^2 l_2 m_2 \cos(\theta_1 - \theta_2))}{l_2(2m_1 + m_2 - m_2 \cos(2\theta_1 - 2\theta_2))} \end{cases} \quad (7)$$

Queste equazioni differenziali non si possono risolvere analiticamente, quindi è necessario fare uso di metodi di integrazione numerica, ci sarà un approfondimento sulla scelta della tecnica utilizzata nel paragrafo 2.

Nella seguente trattazione si fanno le assunzioni: $m_1 = m_2 = 1$ e $l_1 = l_2 = 1$.

2 Scelta dell'algoritmo

Per compiere integrazione numerica di equazioni differenziali ordinarie sono possibili diversi metodi. Il metodo di Eulero è la tecnica più semplice, però, come si può vedere in figura 2 il metodo di Runge-Kutta del quarto ordine porta le performance migliori. L'algoritmo Runge-Kutta non conserva l'area simplettica come, invece, il sistema fisico fa in quanto hamiltoniano; altri metodi numerici come il Leapfrog Method o un Verlet permetterebbero di conservare l'area simplettica, e l'energia, ma le equazioni differenziali 7 non sono scritte in modo tale per cui queste tecniche possano essere implementate, le derivate delle velocità angolari dipendono dalle velocità angolari stesse perché nel sistema ci sono delle forze che dipendono dalla velocità. Nonostante il sistema fisico conservi l'energia meccanica il metodo d'integrazione scelto non la conserva; bisogna assicurarsi che le variazioni di energia siano abbastanza piccole da poter essere trascurate. In figura 2 si possono osservare le fluttuazioni, al variare del passo temporale dt scelto, dell'errore relativo $\sigma = \frac{|E_0 - E|}{E_0}$ in cui E_0 è l'energia ricavata a partire dalle condizioni iniziali e E è l'energia calcolata a tempi successivi (equazione 8).

$$E = \frac{m_1}{2} l_1^2 \dot{\theta}_1^2 + \frac{m_2}{2} \left(l_1^2 \dot{\theta}_1^2 + l_2^2 \dot{\theta}_2^2 + 2l_1 l_2 \dot{\theta}_1 \dot{\theta}_2 \cos(\theta_1 - \theta_2) \right) - (m_1 + m_2) g l_1 \cos(\theta_1) - m_2 g l_2 \cos \theta_2 \quad (8)$$

Dal confronto di questi due grafici (figura 3) si può notare che l'errore dell'energia per passo temporale dt più grande è maggiore. Quindi si è deciso di approfondire lo studio del problema andando a graficare la dipendenza dell'errore relativo dell'energia valutato dopo un grande numero di iterazioni (10^6) dall'intervallo dt , i risultati sono riportati in figura 4.

Per un passo dt pari a 0.01 si ottiene un errore relativo del 16% che non è trascurabile, quindi si è continuata la trattazione del sistema usando un intervallo $dt = 0.005$ che porta un errore dell'energia pari al 0.03%.

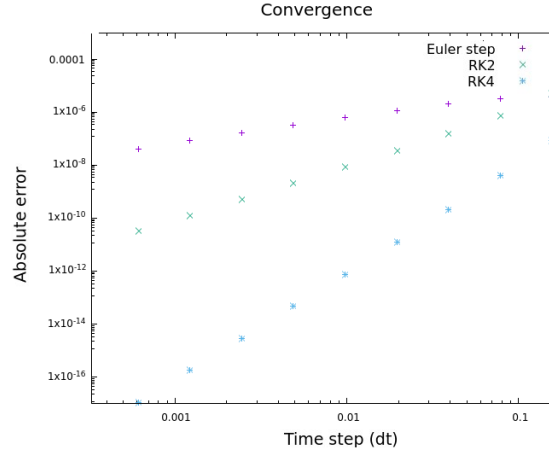


Figure 2: Grafico di convergenza dell'equazione differenziale $\frac{dx}{dt} = -tx$ con $x(0) = 1$ usando il metodo di Eulero e Runge-Kutta al secondo e quarto ordine.

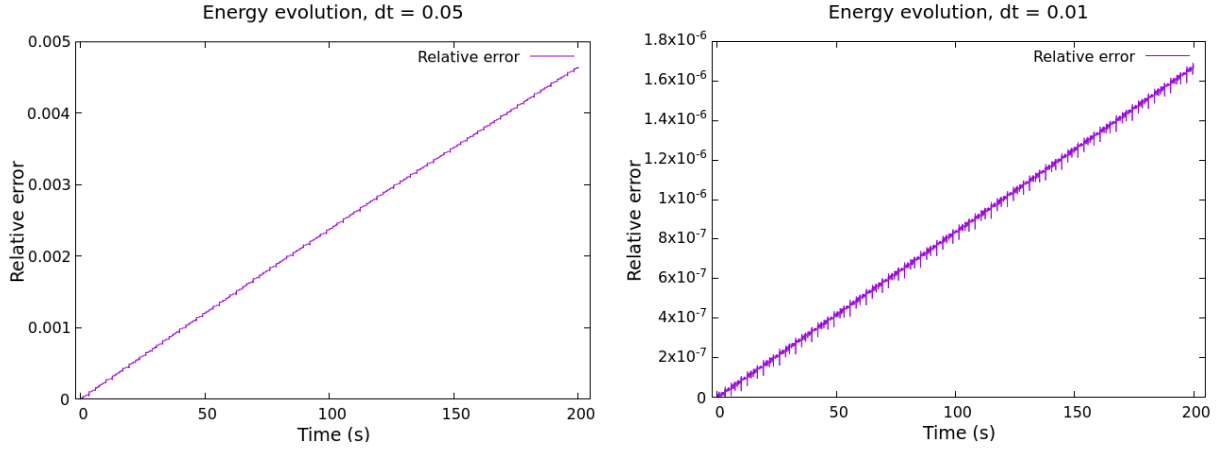


Figure 3: Errore relativo dell'energia al passare del tempo per passi temporali di $dt = 0.05$ s (sinistra) e $dt = 0.01$ s (destra) per condizioni iniziali di $\theta_1 = 0.9$ rad, $\theta_2 = 0.3$ rad, $\omega_1 = 0.2$ rad/s e $\omega_2 = 0$ rad/s.

3 Dinamica del sistema

A questo punto si può studiare la dinamica del sistema. Si è deciso di osservare il sistema al passare di $6 \cdot 10^4$ iterazioni compiute con un passo di $dt = 0.005$ s, questo alto numero di iterazioni permette di osservare l'evoluzione temporale del pendolo doppio. In primo luogo si è scelto di esaminare la dinamica per spostamento dalla condizione di equilibrio di angoli iniziali piccoli $\theta_1 = \theta_2 = 0.1$ rad e velocità angolari iniziali nulle. In queste condizioni il moto è quasi periodico come si vede in figura 3. La regolarità del moto che si osserva viene anche rispecchiata nello spazio delle fasi (figura 6), in cui le traiettorie giacciono su un toro. L'integrazione del sistema a tempi più lunghi permetterebbe lo studio dell'ergodicità del sistema, la densità delle traiettorie sullo spazio delle fasi e la dimensione di quest'ultimo. All'aumentare dello spostamento iniziale degli angoli dalla condizione di equilibrio e della velocità angolare delle masse il sistema mostra una transizione al caos; le traiettorie degli angoli perdono la periodicità (figura 3) e lo spazio delle fasi non presenta più un toro come attrattore (figura 3).

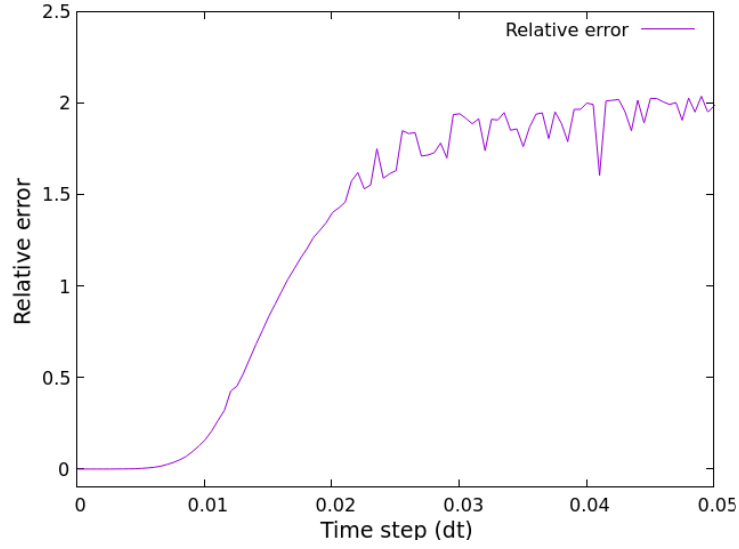


Figure 4: Errore relativo dell'energia in funzione del passo temporale dt

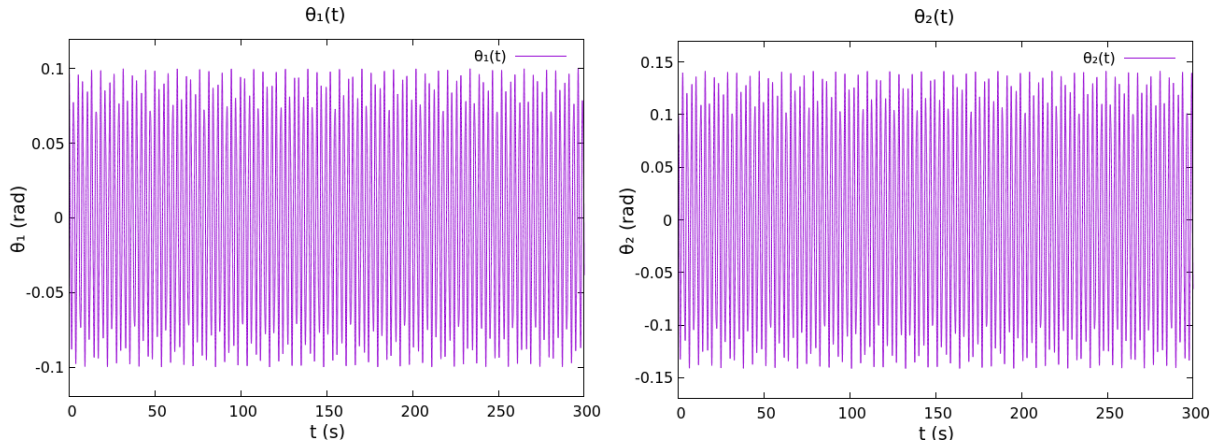


Figure 5: Angoli della massa 1 (θ_1) e della massa 2 (θ_2) al passare del tempo t presi con spostamento iniziale dalla condizione di equilibrio piccolo: $\theta_1 = \theta_2 = 0.1 \text{ rad}$ e $\omega_1 = \omega_2 = 0 \text{ rad/s}$

4 Giro completo del pendolo

In questa sezione ci si propone di trovare dopo quanto tempo le masse del pendolo compiono il primo giro intero. Affinché si possa considerare che una massa abbia fatto un giro completo la richiesta minima è che l'angolo del pendolo corrispondente alla massa sia pari a $k\pi$ rad con $k = \pm 1$. Quindi le energie potenziali minime per cui il pendolo più interno e quello esterno facciano un giro completo sono rispettivamente:

$$U_{min,1} = g(l_1(m_1 + m_2) - l_2 m_2)$$

$$U_{min,2} = g(l_2 m_2 - l_1(m_1 + m_2))$$

Quindi l'energia minima energia potenziale U affinché ci sia un giro è tale che $U \geq U_{min,i}$ con $i = 1, 2$, questa relazione si può scrivere esplicitamente come si vede in formula 9.

$$\begin{aligned} l_1(m_1 + m_2)(\cos \theta_1 - 1) + l_2 m_2(\cos \theta_2 + 1) &\leq 0 \\ l_1(m_1 + m_2)(\cos \theta_1 + 1) + l_2 m_2(\cos \theta_2 - 1) &\leq 0 \end{aligned} \tag{9}$$

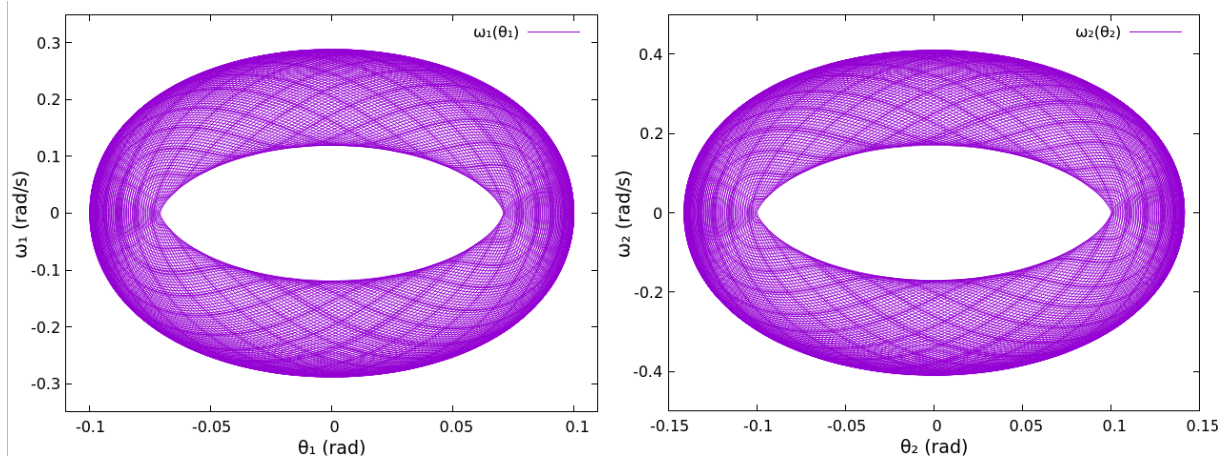


Figure 6: Velocità angolari ω delle due masse in funzione dell'angolo con spostamento iniziale dalla condizione di equilibrio piccolo: $\theta_1 = \theta_2 = 0.1 \text{ rad}$ e $\omega_1 = \omega_2 = 0 \text{ rad/s}$

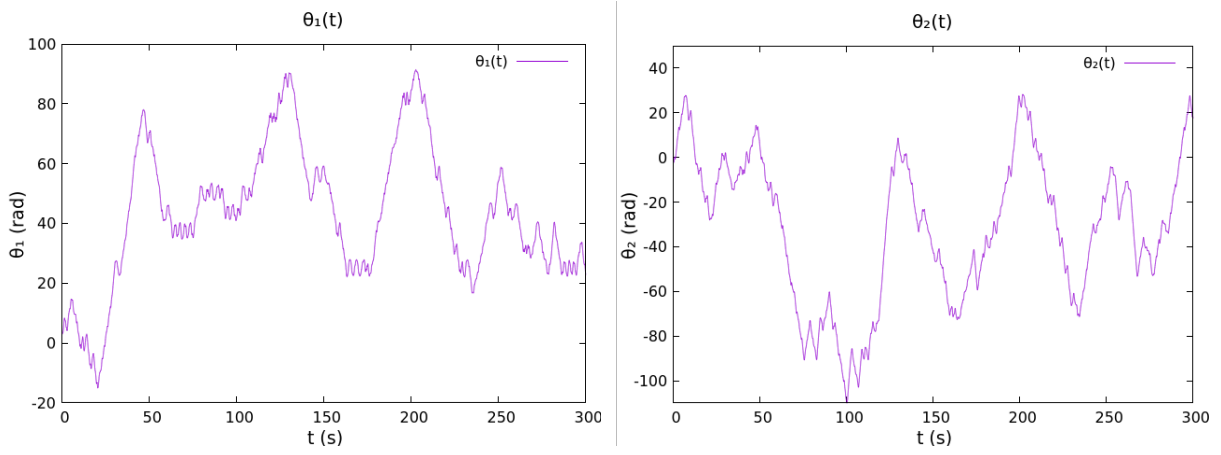


Figure 7: Angoli della massa 1 (θ_1) e della massa 2 (θ_2) al passare del tempo t presi con spostamento iniziale dalla condizione di equilibrio piccolo: $\theta_1 = 3.0 \text{ rad}$, $\theta_2 = -2.5 \text{ rad}$, $\omega_1 = 1.0 \text{ rad/s}$ e $\omega_2 = 0.0 \text{ rad/s}$

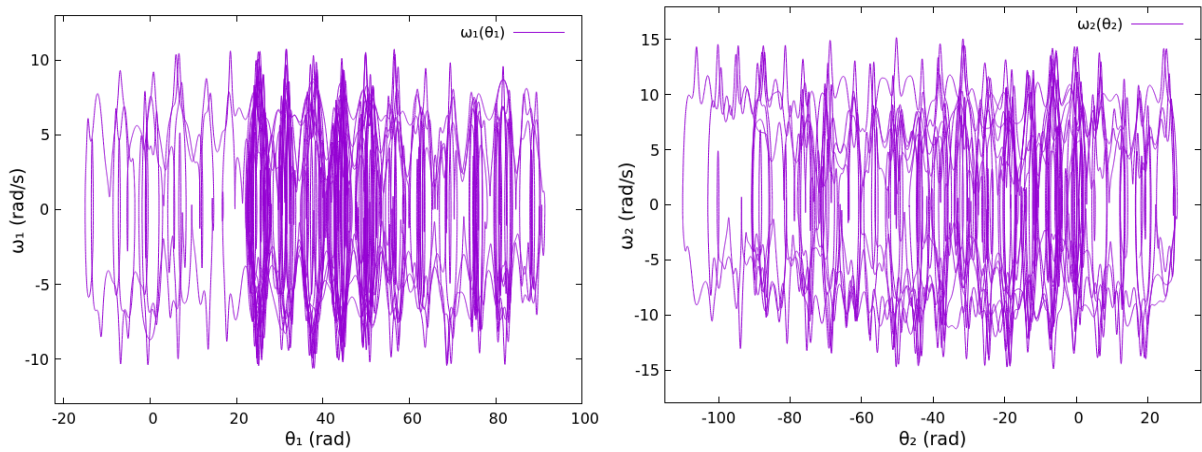


Figure 8: Velocità angolari ω delle due masse in funzione dell'angolo con spostamento iniziale dalla condizione di equilibrio piccolo: $\theta_1 = 3.0 \text{ rad}$, $\theta_2 = -2.5 \text{ rad}$, $\omega_1 = 1.0 \text{ rad/s}$ e $\omega_2 = 0.0 \text{ rad/s}$

Oppure si può vedere in formula 10 imponendo $m_1 = m_2 = 1 \text{ kg}$ e $l_1 = l_2 = 1 \text{ m}$.

$$\begin{aligned} 2 \cos \theta_1 + \cos \theta_2 &\leq -1 \\ 2 \cos \theta_1 + \cos \theta_2 &\leq +1 \end{aligned} \quad (10)$$

Da queste disequazioni si può ricavare per quali coppie di θ_1 e θ_2 le due masse m_1 e m_2 compiono un giro completo, se $\omega_1 = \omega_2 = 0 \text{ rad/s}$, e si possono vedere in viola rispettivamente nelle figure 9 e 10.

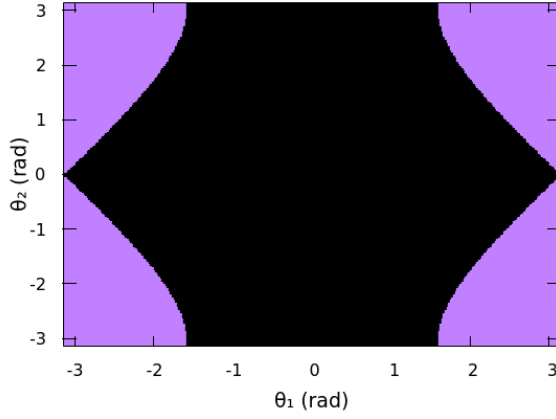


Figure 9: In viola le coppie di angoli θ_1 e θ_2 per cui la massa m_1 fa un giro completo

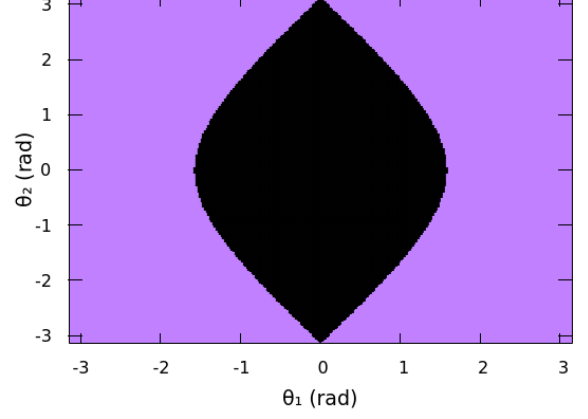


Figure 10: In viola le coppie di angoli θ_1 e θ_2 per cui la massa m_2 fa un giro completo

Si sono cercati di riprodurre questi risultati usando metodi numerici. Si è calcolato dopo quanto tempo le masse m_1 e m_2 compiono un giro completo prendendo come condizioni iniziali ogni angolo compreso tra $-\pi$ e $+\pi \text{ rad}$ con passi di $\Delta\theta = 0.5^\circ$ e $\omega_1 = \omega_2 = 0 \text{ rad/s}$. Ogni set di condizioni iniziali ha avuto al massimo un tempo $t = 1000 \text{ s}$ di runtime con passi temporale pari a $dt = 0.005 \text{ s}$ e i risultati sono stati raccolti nei grafici 11 e 12, nei quali le zone nere rappresentano quei valori di angoli iniziali per cui i pendoli non compiono un giro completo. Invece per gli altri valori temporali misurati è stata definita una barra di colori: in giallo le coppie di θ_1 e θ_2 per cui il pendolo ci mette più tempo a girare e in viola quelle per cui ce ne mette di meno. Qualitativamente parlando gli spazi degli angoli in cui

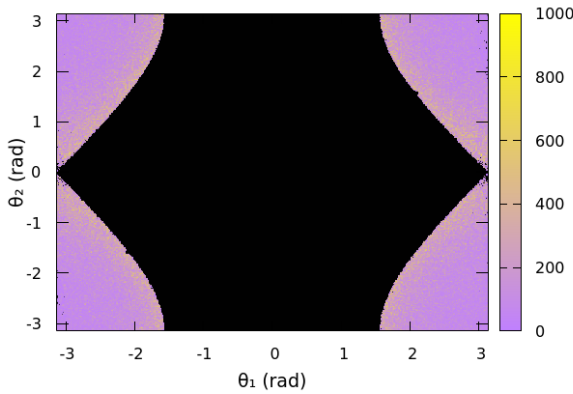


Figure 11: Tempo per cui la massa m_1 fa un giro completo in funzione delle coppie di angoli θ_1 e θ_2

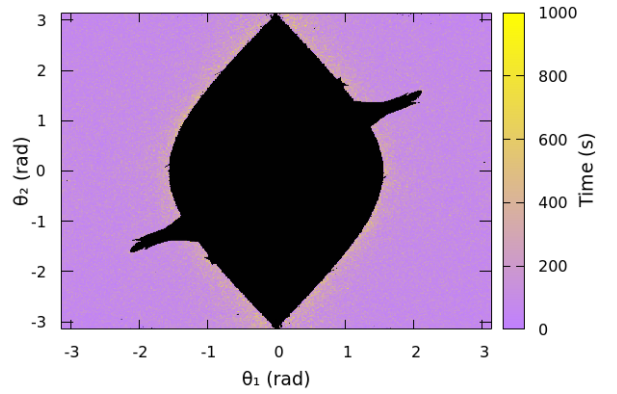


Figure 12: Tempo per cui la massa m_2 fa un giro completo in funzione delle coppie di angoli θ_1 e θ_2

si trova che i pendoli fanno un giro intero con metodi numerici corrisponde alle regioni teoriche trovate usando la disuguaglianza dell'energia potenziale (equazione 10). Per ottenere delle conclusioni più vicine alle previsioni toriche bisognerebbe integrare per periodi temporali più lunghi e usare una griglia sugli angoli più fine.

5 Esponenti di Lyapunov

In un sistema caotico due condizioni iniziali vicine tra loro (δl_0) si allontanano esponenzialmente l'una dall'altra $\delta l = \delta l_0 e^{\lambda t}$, il coefficiente λ ricavato per un tempo t infinito è chiamato esponente di Lyapunov, che si può, quindi, definire come:

$$\lambda = \lim_{t \rightarrow \infty} \lim_{\delta l_0 \rightarrow 0} \frac{1}{t} \log \left| \frac{\delta l}{\delta l_0} \right|$$

Questa definizione porta degli evidenti problemi dovuti al fatto che non si può calcolare numericamente un valore dopo un tempo infinito, quindi si è obbligati a dare una stima non molto accurata degli esponenti di Lyapunov. La misura è stata portata avanti nel seguente modo: si è iniziato il processo prendendo due condizioni iniziali con θ_1 e θ_2 distanti di 10^{-8} rad e lasciando evolvere il sistema dinamico per un tempo $t = 1000 \text{ s}$, a questo punto si è calcolata la distanza euclidea tra le due masse m_1 delle due diverse condizioni iniziali, con questa si ricava l'esponente di Lyapunov (λ_1) relativo a m_1 . Analogamente si può fare per la seconda massa. Questa prima stima è fatta a tempi troppo brevi e quindi è ancora dipendente dalle condizioni iniziali, in linea teorica non dovrebbe esserlo per un set di condizioni iniziali che portano il sistema ad avere un comportamento caotico. Pertanto, dopo aver fatto questa prima misura, si è riavvicinata una delle due traiettorie all'altra, che, invece, rimane inalterata, nuovamente apportando una differenza tra i due θ_1 e θ_2 pari a 10^{-8} rad . Si è compiuto questo processo cento volte e il valore finale dell'esponente di Lyapunov è stato ricavato tramite la media delle misure ripetute delle distanze δl (equazione 11).

$$\lambda = \frac{1}{t} \log \left(\sum_{i=1}^{100} \frac{\delta l_i}{\delta l_{0,i}} \right) \quad (11)$$

Dalla definizione si può evincere che gli esponenti di Lyapunov sono positivi quando il sistema è in regime caotico, quindi si può fare una scansione delle condizioni iniziali al fine di capire per quali condizioni iniziali il sistema diventa caotico. Si è calcolato l'esponente di Lyapunov duecento volte tra 0 e π radianti per gli angoli, non è necessario studiare anche gli altri due quadranti che portano risultati analoghi per via della simmetria, e tra 0 e $2\pi \text{ rad/s}$ per le velocità angolari delle due masse. I risultati si possono osservare nelle figure 13, 14, 15 e 16. Si può notare che per condizioni iniziali vicine allo zero gli esponenti di Lyapunov risultano essere negativi stando ad indicare che il sistema non è caotico, ci sono delle fluttuazioni dovute alle diverse approssimazioni fatte nel calcolo che portano gli esponenti di Lyapunov ad essere positivi anche se il sistema ancora non è caotico. In tutti e quattro i grafici c'è una discontinuità evidente per un certo valore del parametro di controllo, dopo questa discontinuità l'esponente di Lyapunov tende a stabilizzarsi e il sistema diventa caotico. Si è ottenuto che il sistema passa ad essere in regime caotico quando si considerano le seguenti condizioni iniziali: per θ_1 maggiori di 1.13 rad , per θ_2 maggiori di 1.57 rad , per ω_1 maggiori di 3.12 rad/s e per ω_2 maggiori di 5.13 rad/s .

6 Conclusioni

Il doppio pendolo, pur essendo un sistema piuttosto semplice, ha delle caratteristiche interessanti. Inoltre la soluzione analitica del problema non è possibile, quindi l'unico modo di esplorare il comportamento del sistema è tramite l'utilizzo di metodi numerici. L'algoritmo Runge-Kutta al quarto ordine, utilizzato per la trattazione, come abbiamo visto, porta dei problemi, per esempio non conserva l'energia del sistema. Cercare di minimizzare l'errore sull'energia anche dopo un grande numero di iterazioni ha portato a svolgere lo studio del pendolo doppio usando un passo temporale pari a $dt = 0.005 \text{ s}$. Una volta presa questa accortezza si è passati a studiare la dinamica del sistema e gli esponenti di Lyapunov che permettono di capire per quali condizioni iniziali il pendolo ha un comportamento caotico. Infine si è esaminato lo spazio degli angoli per cui i pendoli compiono un giro completo. Per continuare la ricerca si potrebbe ripetere lo studio con metodi numerici più raffinati, ricavare i diagrammi di biforcazione o studiare l'ergodicità del sistema.

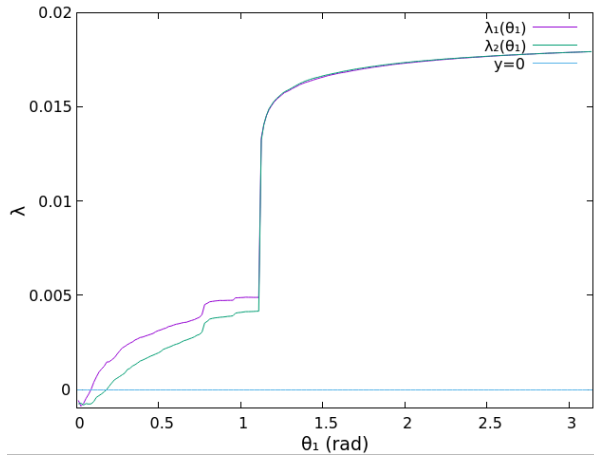


Figure 13: Esponenti di Lyapunov per m_1 e m_2 in funzione dell'angolo θ_1

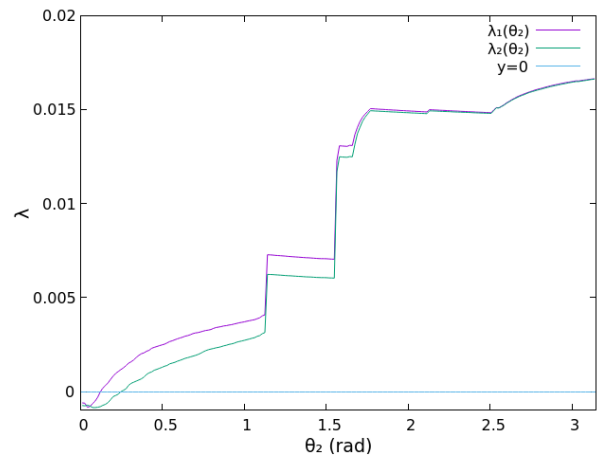


Figure 14: Esponenti di Lyapunov per m_1 e m_2 in funzione dell'angolo θ_2

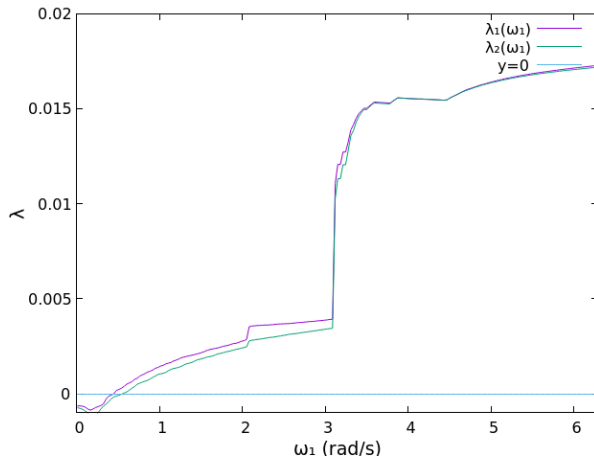


Figure 15: Esponenti di Lyapunov per m_1 e m_2 in funzione dell'angolo ω_1

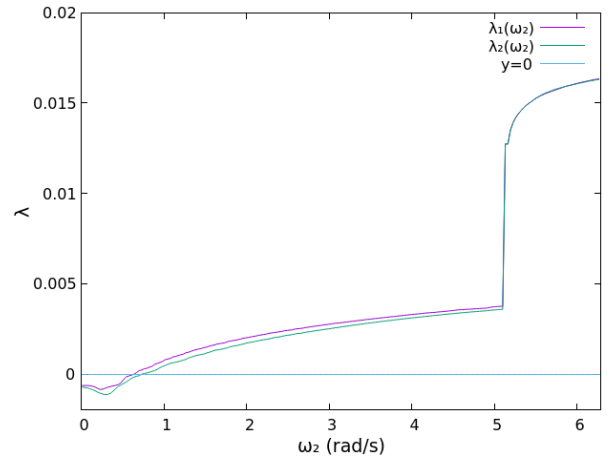


Figure 16: Esponenti di Lyapunov per m_1 e m_2 in funzione dell'angolo ω_2

7 Codice

```
1
2 #include <iostream>
3 #include <cmath>
4 #include <fstream>
5 using namespace std;
6
7 void dYdt(double, double*, double*);
8 void RK4(double, double*, double, int, void (*Func)
9         (double, double*, double*));
10
11 #define STAGE 5
12 #define PARAM 4
13
14 // Constants for mass, length, and gravity
15 double g_m = 1.; // m1 = m2 = m
16 double g_l = 1.; // l1 = l2 = l
17 double g_g = 9.8;
18
19
20
21 int main(){
22     double ti = 0., t = ti, tf; // Initial and final time
23     int neq = 4; // Number of equations
24     int m; // Number of iterations
25     double Y[neq], Y1[neq]; // Arrays to hold system variables
26
27     #if STAGE == 1
28         /* This stage wants to compare two different time steps
29         to see how the relative error of the total energy evolves */
30         //Fixed initial conditions
31         Y[0] = 0.9; Y[1] = 0.3; Y[2] = 0.2; Y[3] = 0.;
32         //Time steps
33         double dt1, dt2;
34         dt1 = 0.05; dt2 = 0.01;
35         //open two files to store data
36         ofstream file1("stage1_dt1.txt");
37         ofstream file2("stage1_dt2.txt");
38         tf = 200.; //End time for simulation
39         m = (tf - ti) / dt1; //number of iterations
40         double en_i, en;
41         // Initial energy
42         en_i = g_m * g_l * g_l * (Y[2] * Y[2] + 0.5 * Y[3] * Y[3] +
43             Y[2] * Y[3] * cos(Y[0] - Y[1])) - g_m * g_g * g_l *
44             (cos(Y[1]) + 2. * cos(Y[0]));
45         // Loop for first time step using Runge-Kutta method
46         for(int i = 0; i < m; i++){
47             RK4(t, Y, dt1, neq, dYdt);
48             t += dt1;
49             // Calculate energy
50             en = g_m * g_l * g_l * (Y[2] * Y[2] + 0.5 * Y[3] * Y[3] +
51                 Y[2] * Y[3] * cos(Y[0] - Y[1])) - g_m * g_g * g_l *
52                 (cos(Y[1]) + 2. * cos(Y[0]));
53             //Store energy relative error into file
54             file1 << t << " " << fabs((en_i - en) / en_i) << endl;
55         }
56
57         // Reset system initial conditions and time for second time step
58         Y[0] = 0.9; Y[1] = 0.3; Y[2] = 0.2; Y[3] = 0.;
59         t = 0; //Reset time
60         m = (tf - ti) / dt2; //number of iterations
61         // Loop for second time step using Runge-Kutta method
62         for(int j = 0; j < m; j++){
63             RK4(t, Y, dt2, neq, dYdt);
64             t += dt2;
65             // Calculate energy and write to file
66             en = g_m * g_l * g_l * (Y[2] * Y[2] + 0.5 * Y[3] * Y[3] +
67                 Y[2] * Y[3] * cos(Y[0] - Y[1])) - g_m * g_g * g_l *
```

```

68         (cos(Y[1]) + 2. * cos(Y[0]));
69         //Store energy relative error into file
70         file2 << t << " " << fabs((en_i - en) / en_i) << endl;
71     }
72
73     // Close files
74     file1.close();
75     file2.close();
76 #endif
77 #if STAGE == 2
78 /*This stage wants to show how relative energy at a fixed time t and
79 fixed initial conditions varies with different time steps*/
80 //Fixed initial conditions
81 Y[0] = 3.; Y[1] = -2.5; Y[2] = 1.; Y[3] = 0.;
82 //Time steps
83 double dt_min = 0.0001, dt = dt_min, dt_max = 0.05;
84 int m = 1000000; //number of iterations
85 int n = 100; //number of points stored into file
86 ofstream file1("stage2_en_err(dt).txt");
87 double en_i, en; //Total energy
88 // Initial energy
89 en_i = g_m * g_l * g_l * (Y[2] * Y[2] + 0.5 * Y[3] * Y[3] +
90 Y[2] * Y[3] * cos(Y[0] - Y[1])) - g_m * g_g * g_l *
91 (cos(Y[1]) + 2. * cos(Y[0]));
92 // Loop to vary time step using Runge-Kutta method
93 while(dt < dt_max){
94     for(int i = 0; i < m; i++){
95         RK4(t, Y, dt, neq, dYdt);
96         t += dt;
97     }
98     // Calculate energy and write to file
99     en = g_m * g_l * g_l * (Y[2] * Y[2] + 0.5 * Y[3] * Y[3] +
100 Y[2] * Y[3] * cos(Y[0] - Y[1])) - g_m * g_g * g_l *
101 (cos(Y[1]) + 2. * cos(Y[0]));
102     //Store energy relative error into file
103     file1 << dt << " " << fabs((en_i - en) / en_i) << endl;
104     t = 0.;
105     // Reset initial conditions
106     Y[0] = 3.; Y[1] = -2.5; Y[2] = 1.; Y[3] = 0.;
107     dt += ((dt_max - dt_min) / n);
108 }
109     file1.close();
110 #endif
111
112 #if STAGE == 3
113 /*This stage wants to see how the dynamic of the double pendulum evolves
114 when starting with small end big initial conditions */
115 //Open file to store data into
116 ofstream file1("moto_pendolo.txt");
117 //Initial conditions
118 Y[0] = 0.1; Y[1] = 0.1; Y[2] = 0.0; Y[3] = 0.;
119 //Initial condition for chaotic motion
120 Y1[0] = 3.0; Y1[1] = -2.5 ; Y1[2] = 1.; Y1[3] = 0.;
121 //Time step
122 double dt;
123 dt = 0.005;
124 // Loop for simulating the system motion using Runge-Kutta method
125 for(double t = 0.; t < 300.; t += dt){
126     RK4(t, Y, dt, neq, dYdt);
127     RK4(t, Y1, dt, neq, dYdt);
128     // Write data to file
129     file1 << t << " " << Y[0] << " " << Y[1] << " " << Y[2]
130 << " " << Y[3] << " " << Y1[0] << " " << Y1[1]
131 << " " << Y1[2] << " " << Y1[3] << endl;
132 }
133     file1.close();
134 #endif
135
136 #if STAGE == 4

```

```

137 double err = 1.e-8; //Error to initial condition
138 double x = 0.01; //Control parameter
139 double x_end; //End of the simulation
140 double dx; //Control parameter step
141 double parm; //Indicates which parameter is the control one
142 int N = 100; //Number of times the initial conditions are riconnetted
143 int n_points = 200; //Number of points stored in file
144 #if PARAM == 1
145     // Lyapunov exponent for the angle of the first mass
146     ofstream file1("esp_lyapunov_theta1.txt");
147     x_end = M_PI;
148     parm = 0;
149     dx = x_end / n_points;
150 #endif
151 #if PARAM == 2
152     // Lyapunov exponentss for the angle of the second mass
153     ofstream file1("esp_lyapunov_theta2.txt");
154     x_end = M_PI;
155     parm = 1;
156     dx = x_end / n_points;
157 #endif
158 #if PARAM == 3
159     // Lyapunov exponents for the angular velocity of the first mass
160     ofstream file1("esp_lyapunov_omega1.txt");
161     x_end = 2 * M_PI;
162     parm = 2;
163     dx = x_end / n_points;
164 #endif
165 #if PARAM == 4
166     // Lyapunov exponents for the angular velocity of the second mass
167     ofstream file1("esp_lyapunov_omega2.txt");
168     x_end = 2 * M_PI;
169     parm = 3;
170     dx = x_end / n_points;
171 #endif
172
173 // Initial conditions
174 for(int i = 0; i < neq; i++){
175     if(i == parm) Y[i] = x;
176     else Y[i] = 0.;
177
178     if(i < 2) Y1[i] = Y[i] + err;
179     else Y1[i] = Y[i];
180 }
181 double dt = 0.005; //Time step
182 double t_end = 1000.; //Time at which the evolution of the system stops
183 double esp_lyap1, esp_lyap2; //Lyapunov exponents
184 double x1_0, x2_0, y1_0, y2_0, x1_1, x2_1, y1_1, y2_1; //Cartesian coordinates
185 double d0_1 = 0., d0_2 = 0., d1_1 = 0., d1_2 = 0.; //Euclidian distances
186 int n_step; //Number of iterations
187 t = 0.; //Initial time
188 n_step = t_end / dt;
189
190 while(x < x_end){
191     for(int i = 0; i < N; i++){
192         // Cartesian coordinates for initial conditions
193         x1_0 = g_1 * sin(Y[0]);
194         x2_0 = x1_0 + g_1 * sin(Y[1]);
195         y1_0 = -g_1 * cos(Y[0]);
196         y2_0 = y1_0 - g_1 * cos(Y[1]);
197
198         x1_1 = g_1 * sin(Y1[0]);
199         x2_1 = x1_1 + g_1 * sin(Y1[1]);
200         y1_1 = -g_1 * cos(Y1[0]);
201         y2_1 = y1_1 - g_1 * cos(Y1[1]);
202
203         // Euclidean distances for initial conditions
204         d0_1 += sqrt((x1_0 - x1_1) * (x1_0 - x1_1) + (y1_0 - y1_1) * (y1_0 - y1_1));
205         d0_2 += sqrt((x2_0 - x2_1) * (x2_0 - x2_1) + (y2_0 - y2_1) * (y2_0 - y2_1));

```

```

206 //Loop for the evolution of the system using Runge-Kutta method
207 for(int k = 0; k < n_step; k++){
208     RK4(t, Y, dt, neq, dYdt);
209     RK4(t, Y1, dt, neq, dYdt);
210     t += dt;
211 }
212
213 // Cartesian coordinates
214 x1_0 = g_1 * sin(Y[0]);
215 x2_0 = x1_0 + g_1 * sin(Y[1]);
216 y1_0 = -g_1 * cos(Y[0]);
217 y2_0 = y1_0 - g_1 * cos(Y[1]);
218
219 x1_1 = g_1 * sin(Y1[0]);
220 x2_1 = x1_1 + g_1 * sin(Y1[1]);
221 y1_1 = -g_1 * cos(Y1[0]);
222 y2_1 = y1_1 - g_1 * cos(Y1[1]);
223
224 // Euclidean distances
225 d1_1 += sqrt((x1_0 - x1_1) * (x1_0 - x1_1) + (y1_0 - y1_1) * (y1_0 - y1_1));
226 d1_2 += sqrt((x2_0 - x2_1) * (x2_0 - x2_1) + (y2_0 - y2_1) * (y2_0 - y2_1));
227
228 // Making the conditions close again
229 for(int i = 0; i < neq; i++){
230     if(i < 2) Y1[i] = Y[i] + err;
231     else Y1[i] = Y[i];
232 }
233 t = 0.;
234 }
235 //Lyapunov exponents
236 esp_lyap1 = log(fabs(d1_1 / d0_1)) / t_end;
237 esp_lyap2 = log(fabs(d1_2 / d0_2)) / t_end;
238 //Store data into file
239 file1 << x << " " << esp_lyap1 << " " << esp_lyap2 << endl;
240 //Increase of the control parameter
241 x += dx;
242 // Initial conditions
243 for(int i = 0; i < neq; i++){
244     if(i == parm) Y[i] = x;
245     else Y[i] = 0.;
246
247     if(i < 2) Y1[i] = Y[i] + err;
248     else Y1[i] = Y[i];
249 }
250 }
251 //Close file
252 file1.close();
253 #endif
254
255 #if STAGE == 5
256 /*This stage wants to see for which set of initial condition for
257 the angels does the pendulum flip and after how much time*/
258 //Open files
259 ofstream file1("flip1.txt");
260 ofstream file2("flip2.txt");
261 double dt = 0.005; //Time step
262 double t_stop = 1000.; //Time for which the system evolution stops
263 double tol = 1.e-7; //Tolerance
264 int stop; //Number of iterations
265 int dati = 720; //Number of points for each angle
266 int flip1 = 0, flip2 = 0; //Number of flips
267 double theta1_old = 0., theta2_old = 0.; //control parameters
268 //Number of iterations
269 stop = t_stop / dt;
270 //Loop on theta 1
271 for(int i = 0; i < dati; i++){
272     //Loop on theta 2
273     for(int j = 0; j < dati; j++){
274         //Initial conditions

```

```

275     Y[0] = i * (2 * M_PI / dati) - M_PI;
276     Y[1] = j * (2 * M_PI / dati) - M_PI;
277     Y[2] = 0.; Y[3] = 0.;
278     t = 0.;
279     //Loop for the evolution of the system using Runge-Kutta method
280     for(int m = 0; m < stop; m++){
281         RK4(t, Y, dt, neq, dYdt);
282         //check whether the pendulum has flipped
283         if(flip1 == 0 && sin(Y[0]) * sin(theta1_old) < 0.
284             && t > dt && cos (Y [0]) < -1. + tol){
285             //Store for what time and angles the pandulum has flipped
286             file1 << t << " " << i * (2 * M_PI / dati) - M_PI
287                 << " " << j * (2 * M_PI / dati) - M_PI << endl;
288             flip1 = 1;
289         }
290         if(flip2 == 0 && sin(Y[1]) * sin(theta2_old) < 0.
291             && t > dt && cos (Y [1]) < -1. + tol){
292             //Store for what time and angles the pandulum has flipped
293             file2 << t << " " << i * (2 * M_PI / dati) - M_PI
294                 << " " << j * (2 * M_PI / dati) - M_PI << endl;
295             flip2 = 1;
296         }
297         //Store the values of the angles
298         if(flip1 == 0) theta1_old = Y[0];
299         if(flip2 == 0) theta2_old = Y[1];
300         //Break when both pendula have flipped
301         if(flip1 == 1 && flip2 == 1) break;
302         //Increase time
303         t += dt;
304
305     }
306     //Store for which set of angels the pendulum hasn't flipped
307     if(flip1 == 0){
308         file1 << -1 << " " << i * (2 * M_PI / dati) - M_PI
309             << " " << j * (2 * M_PI / dati) - M_PI << endl;
310     }
311     if(flip2 == 0){
312         file2 << -1 << " " << i * (2 * M_PI / dati) - M_PI
313             << " " << j * (2 * M_PI / dati) - M_PI << endl;
314     }
315     //Going back to initial conditions
316     t = 0.;
317     flip1 = 0;
318     flip2 = 0;
319 }
320
321 //Close files
322 file1.close();
323 file2.close();
324 #endif
325 }
326
327 //=====RK4=====
328
329 void RK4(double t, double *Y, double dt, int neq,
330         void (*RHS_Func)(double, double*, double*)){
331     // Runge-Kutta numerical method for integrating differential equations
332
333     // Intermediate variables for RK4
334     double Y1[neq], Y2[neq], Y3[neq];
335     double k1[neq], k2[neq], k3[neq], k4[neq];
336
337     // Evaluate the function at the initial point
338     dYdt(t, Y, k1);
339
340     // Calculate intermediate values for the Runge-Kutta steps
341     for(int i = 0; i < neq; i++){
342         Y1[i] = Y[i] + 0.5 * dt * k1[i]; // First intermediate step
343     }

```

```

344     dYdt(t + 0.5 * dt, Y1, k2); // Evaluate at the midpoint
345
346     for(int i = 0; i < neq ; i++){
347         Y2[i] = Y[i] + 0.5 * dt * k2[i]; // Second intermediate step
348     }
349     dYdt(t + 0.5 * dt, Y2, k3); // Evaluate at the midpoint again
350
351     for(int i = 0; i < neq ; i++){
352         Y3[i] = Y[i] + dt * k3[i]; // Third intermediate step
353     }
354     dYdt(t + dt, Y3, k4); // Evaluate at the end of the interval
355
356     // Update the solution
357     for(int i = 0; i < neq ; i++){
358         Y[i] += dt / 6. * (k1[i] + 2 * k2[i] + 2 * k3[i] + k4[i]);
359     }
360 }
361
362 //=====dYdt=====
363
364 void dYdt(double t, double *Y, double *R){
365     double theta1 = Y[0], theta2 = Y[1]; //Angles
366     double v1 = Y[2], v2 = Y[3], den; //Angular velocities
367     //Denominator
368     den = g_l * (3. * g_m - g_m * cos((2. * theta1) - (2. * theta2)));
369     //Set of differential equations
370     R[0] = v1;
371     R[1] = v2;
372     R[2] = (- 3. * g_g * g_m * sin(theta1) - g_m * g_g * sin(theta1 - 2. * theta2)
373             - 2. * g_m * sin(theta1 - theta2) * (v2 * v2 * g_l +
374             v1 * v1 * g_l * cos(theta1 - theta2))) / den;
375     R[3] = ((2. * sin(theta1 - theta2)) * (2. * g_m * g_l * v1 * v1 + 2.* g_g * g_m
376             * cos(theta1) + v2 * v2 * g_l * g_m * cos(theta1 - theta2))) / den;
377
378 }

```